

**PROGRAMA DE PÓS-GRADUAÇÃO
STRICTO SENSU – EDUCAÇÃO FÍSICA**

Universidade Católica de Brasília

**TÓPICOS ESPECIAIS – COMO ELABORAR
UMA MONTAGEM DE TREINO PARA
MAXIMIZAR OS RESULTADOS**

PROF. DR. JONATO PRESTES

Definição do tema: Impacto da seleção dos exercícios e da montagem de treino para a hipertrofia regional

Objetivo da aprendizagem: proporcionar ao profissional da área do movimento os conhecimentos sobre a escolha acertiva dos exercícios e montagem de treino para correção e melhora de pontos fracos.

Relevância da proposta: A escolha correta dos exercícios e a montagem de treino podem auxiliar sobremaneira na correções de regiões musculares com maior dificuldade de desenvolvimento.

Esse padrão pode ser intermuscular e intramuscular

Atleta: Angela, 35 anos, massa corporal: 65 kg, % de gordura 8-10%. Objetivo de competição Internacional Arnold Ohio. Categoría Wellness. Outros casos de atletas serão mencionados para fortalecer o entendimento.



O que devemos avaliar na inspeção visual?

Fotos

Dieta prévia, volume prévio, divisão de treino e recursos bioquímicos utilizados

Tentativas que funcionaram, exercícios preferidos, exercícios que parecem não funcionar

Pedido de vídeo para análise da técnica de execução para refinamento, avaliação de mobilidade e possíveis músculos que precisem de intervenção não só de treino.

A importância do feedback a cada 30-40 dias. Perguntas sobre a progressão de cargas, cansaço e dores articulares.

POSSÍVEIS MÉTODOS DE CONTROLE DE CARGA E RECUPERAÇÃO

Escala de recuperação TQR

Como você se sente em relação à sua recuperação?

Índice	Descriptor
6	Em nada recuperado
7	Extremamente mal recuperado
8	-
9	Muito mal recuperado
10	-
11	Mal recuperado
12	-
13	Razoavelmente recuperado
14	-
15	Bem recuperado
16	-
17	Muito bem recuperado
18	-
19	Extremamente bem recuperado
20	Totalmente bem recuperado (Kenttä; Hassmén, 1998)

Escala Subjetiva de Recuperação

	5	4	3	2	1
FADIGA	Muito descansado	Descansado	Normal	Mais cansado do que o normal	Muito cansado
QUALIDADE DO SONO	Sono tranquilo e revigorante	Boa	Dificuldade em adormecer	Sono agitado	Insônia
DORES MUSCULARES	Sentindo-se ótimo	Sentindo-se bem	Normal	Dolorido ou palpação com dor	Muito dolorido
NÍVEL DE ESTRESSE	Muito relaxado	Relaxado	Normal	Sentindo-se estressado	Muito estressado
HUMOR	Humor muito positivo	De um modo geral bom humor	Menos interessado em outras atividades que o habitual	Mal humorado com familiares e colegas de trabalho	Muito irritado

(McLean et al.2010)

European Journal of Applied Physiology
<https://doi.org/10.1007/s00421-019-04181-y>

ORIGINAL ARTICLE

Check for updates

Effects of squat training with different depths on lower limb muscle volumes

Keitaro Kubo¹ · Toshihiro Ikebukuro¹ · Hideaki Yata²

Received: 10 January 2019 / Accepted: 19 June 2019
 © Springer-Verlag GmbH Germany, part of Springer Nature 2019

METODOLOGIA

17 sujeitos destreinados

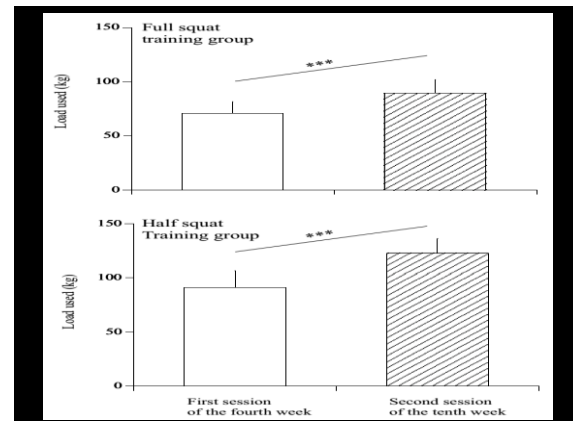
Agachamento completo 140° de flexão dos joelhos e meio agachamento 90°

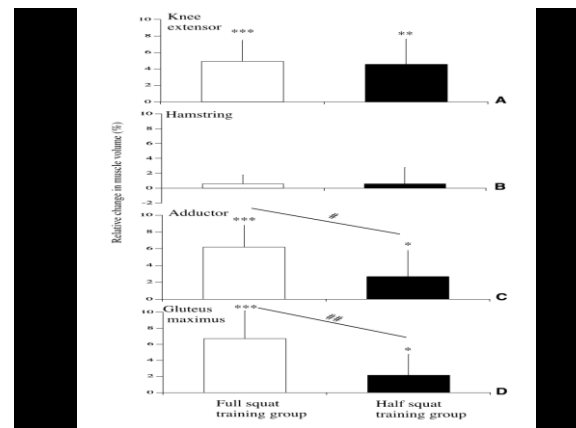
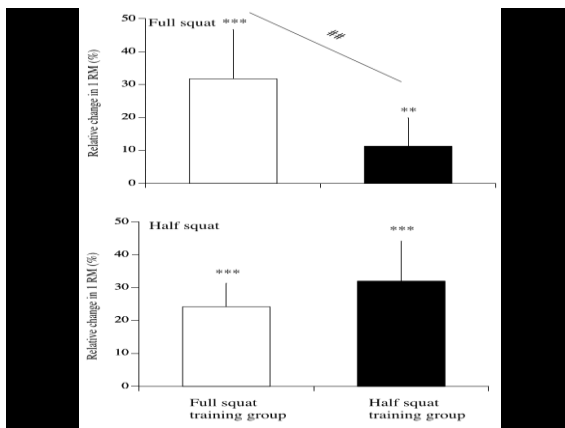
10 semanas, 2 x semana, semana 2 – 3 x 10 com 60% de 1RM, semana 2 – 3 x 8 com 70% de 1RM, semana 80% de 1RM e da 4 até a 10 - 90% de 1RM

Table 1 Age, physical characteristics, and 1RM before training in both groups mean (sd)

	Full squat training group (n=8)	Half squat training group (n=9)
Age (years)	20.7 (0.4)	20.9 (0.8)
Height (cm)	173.6 (4.1)	172.3 (5.8)
Body mass (kg)	63.2 (6.6)	64.1 (6.1)
1RM of full squat (kg)	78.8 (14.6)	82.8 (15.2)
1RM of half squat (kg)	95.0 (16.0)	96.7 (15.0)

1RM one repetition maximum





	Full squat training group (n=8)		Half squat training group (n=9)	
	Before	After	Before	After
Rectus femoris muscle (cm ²)	291.8 (46.5)	290.9 (39.7)	286.2 (31.7)	287.3 (38.8)
Vastus lateralis muscle (cm ²)	639.0 (95.9)	682.7 (93.1)***	653.9 (71.5)	694.1 (83.3)**
Vastus intermedius muscle (cm ²)	556.3 (99.0)	576.0 (94.3)**	499.8 (63.7)	523.8 (63.0)***
Vastus medialis muscle (cm ²)	480.2 (72.5)	512.5 (72.5)***	457.5 (56.0)	488.1 (63.1)***

*Significantly different from before (**p < 0.01, ***p < 0.001)

	Full squat training group (n=8)		Half squat training group (n=9)	
	Before	After	Before	After
Biceps femoris short head muscle (cm ²)	106.2 (20.2)	106.1 (20.3)	104.6 (22.2)	105.4 (22.2)
Biceps femoris long head muscle (cm ²)	194.0 (29.4)	195.2 (27.7)	192.3 (31.9)	193.4 (27.3)
Semitendinosus muscle (cm ²)	179.7 (26.9)	182.1 (24.7)	187.5 (39.4)	186.5 (36.1)
Semimembranosus muscle (cm ²)	237.7 (36.9)	238.2 (39.9)	214.9 (31.2)	217.0 (27.8)

Eur J Appl Physiol (2013) 113:2691–2703
DOI 10.1007/s00421-013-2700-1

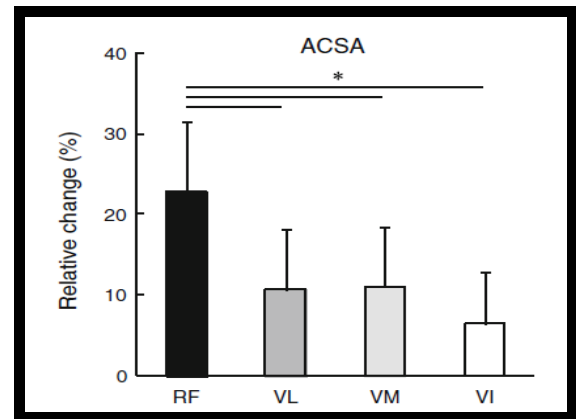
ORIGINAL ARTICLE

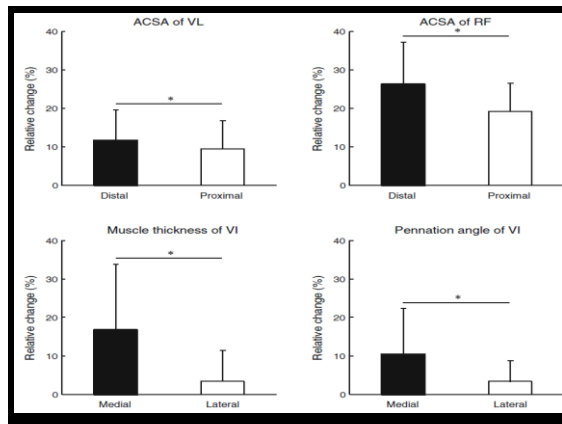
Inhomogeneous architectural changes of the quadriceps femoris induced by resistance training

Ryoichi Ema · Taku Wakahara · Naokazu Miyamoto · Hiroaki Kanehisa · Yasuo Kawakami

Mudanças não homogêneas na arquitetura do quadríceps induzidas pela treinamento de força

11 Jovens fisicamente ativos
10 controles
TREINAMENTO DE 3 MESES:
Extensão dos joelhos (2 s conc. e 2 s na exc.)
3 x semana
5 x 8 reps a 80% de 1RM
1,5 min intervalo entre as séries
1RM ajustada a cada 2 semanas





European Journal of Applied Physiology
<https://doi.org/10.1007/s00421-023-05156-w>

ORIGINAL ARTICLE

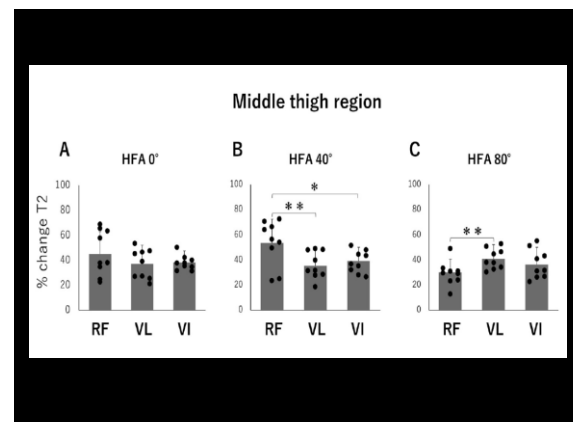
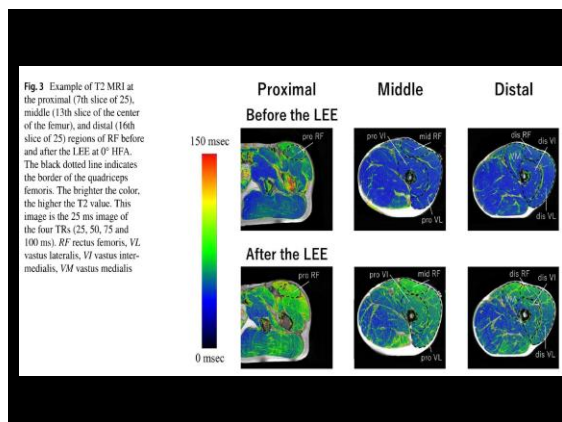
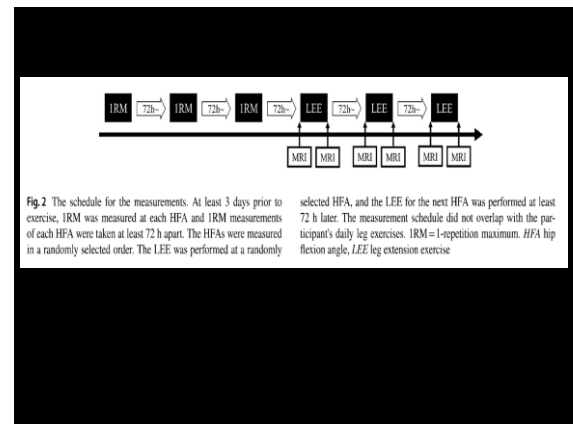
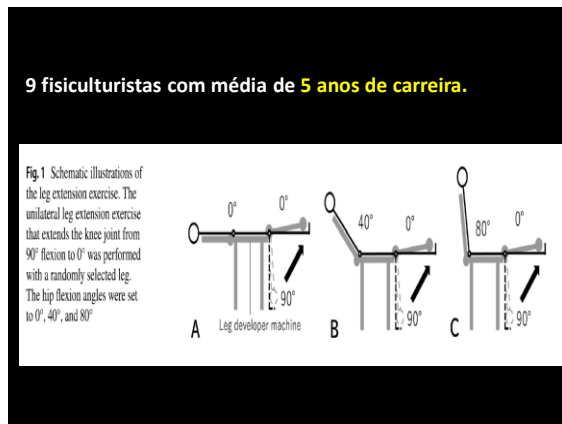


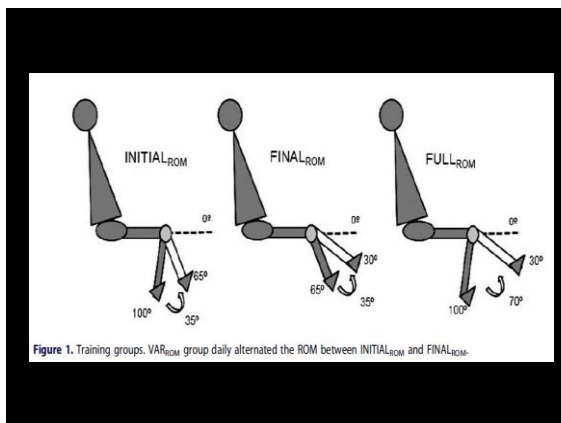
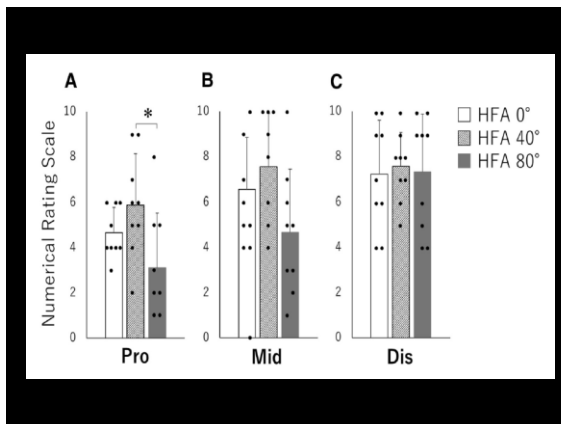
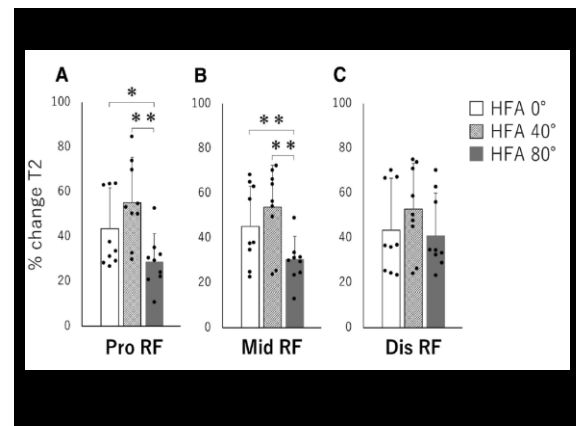
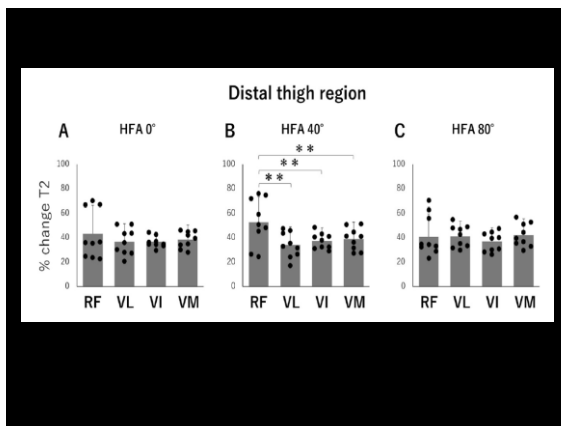
Hip flexion angle affects longitudinal muscle activity of the rectus femoris in leg extension exercise

Hiroko Mitsuya¹ Koichi Nakazato¹ · Takayoshi Hakkaku¹ · Takashi Okada¹

Received: 21 October 2022 / Accepted: 8 February 2023

© The Author(s), under exclusive license to Springer-Verlag GmbH Germany, part of Springer Nature 2023





45 mulheres destreinadas

TREINAMENTO DE 3 MESES:

Extensão dos joelhos (2 s conc. e 2 s na exc.)

3 x semana

3-6 x 7 reps a 60% de 1RM

3 min intervalo entre as séries

1RM ajustada a cada 2 semanas na ADM específica treinada

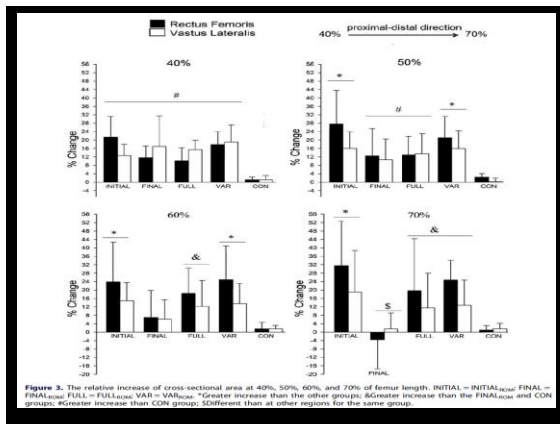


Figure 3. The relative increase of cross-sectional area at 40%, 50%, 60%, and 70% of femur length. INITIAL = INITIAL_{rectus}; FINAL = FINAL_{rectus}; FULL = FULL_{rectus}; VAR = VAR_{rectus}. *Greater increase than the other groups; &Greater increase than the FINAL_{rectus} and CON group; &Greater increase than CON group; &Different than at other regions for the same group.

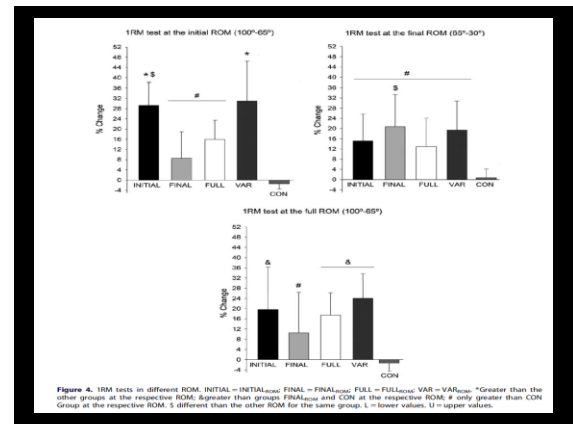


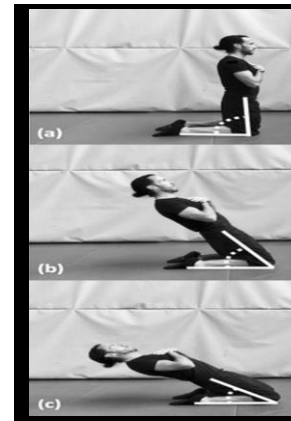
Figure 4. 1RM tests in different ROM. INITIAL = INITIAL_{rectus}; FINAL = FINAL_{rectus}; FULL = FULL_{rectus}; VAR = VAR_{rectus}. *Greater than the other groups at the respective ROM. &Greater than groups FINAL_{rectus} and CON at the respective ROM. &Only greater than CON Group at the respective ROM. \$Different than the other ROM for the same group. L = lower values. U = upper values.

Changes in rectus femoris architecture induced by the reverse nordic hamstring exercises

Diego ALONSO-FERNANDEZ, Rosana FERNANDEZ-RODRIGUEZ, Rocío ABALO

The Journal of Sports Medicine and Physical Fitness 2018 Oct 01

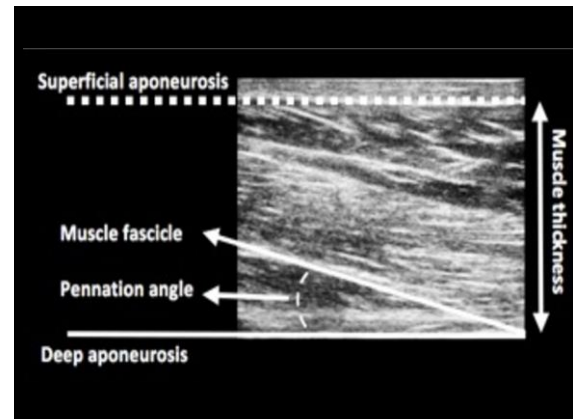
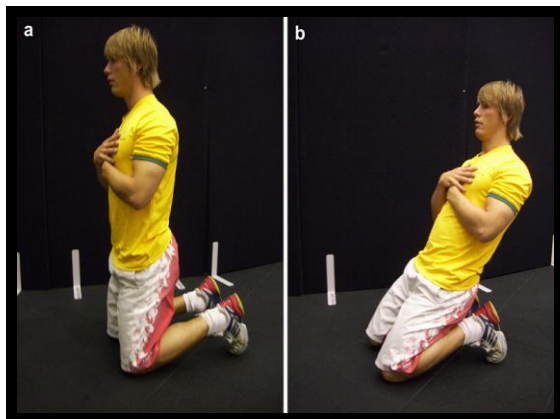
DOI: 10.23736/S0022-4707.18.08873-4



A) Início

B) Meio

C) Fim



TABLES

Table I.—Characteristics of participants (mean \pm standard error of the mean)

N	Age (years old)	Weight (kg)	Height (m)
26	24.7 \pm 2.9	77.6 \pm 8.7	1.79 \pm 0.08

Table II.—

Eccentric training progression with RNHE

Week	Number of sessions/week	Sets	Repetitions	Total number of repetitions	Rest between sets
1	2	2	6	24	2 min
2	2	2	8	32	2 min
3	3	3	6	54	2 min
4	3	3	8	72	2 min
5	3	3	8	72	2 min
6	3	3	10	90	2 min
7	3	3	10	90	2 min
8	3	3	10-12	90-108	2 min

Table III.—Eccentric protocol with RNHE (n = 26)

	M1 (Week 1)	M2 (Week 9)	M3 (Week 13)	% Change M1-M2	% Change M2-M3
FL (cm)	7.82 \pm 1.88	8.57 \pm 1.14**	8.18 \pm 1.35##	9.59	-4.55
RFL	3.70 \pm 0.35	3.74 \pm 0.38	3.72 \pm 0.34	1.08	-0.53
PA (°)	12.44 \pm 2.98	13.82 \pm 3.81*	13.26 \pm 2.02#	11.09	-4.05
MT (cm)	2.1 \pm 0.19	2.28 \pm 0.31**	2.18 \pm 0.26##	8.57	-4.38
CSA (cm ²)	9.21 \pm 1.86	10.02 \pm 1.98**	9.61 \pm 1.37##	8.79	-4.26

Table note: * = P < .05 vs M1, ** = P < .001 vs M1, # = P < .05 vs M2, ## = P < .001 vs M2.

FL = Fascicle length, RFL = fascicle length relative to muscle thickness, PA = pennation angle,

MT = muscle thickness, CSA = cross-sectional area

Modèle
SCISPO-3406 - No. of Pages 8

Science & Sports (2020) xxx, xxx–xxx

Disponible en ligne sur
ScienceDirect
www.sciencedirect.com

Elsevier Masson France
EM consulte
www.em-consulte.com

ELSEVIER

ORIGINAL ARTICLE

Effects of eccentric exercise on the quadriceps architecture

Effets de l'exercice excentrique sur l'architecture du quadriceps

D. Alonso-Fernandez^a, R. Abalo-Núñez^{b,*}, C. Mateos-Padorno^c,
M.J. Martínez-Patiño^a

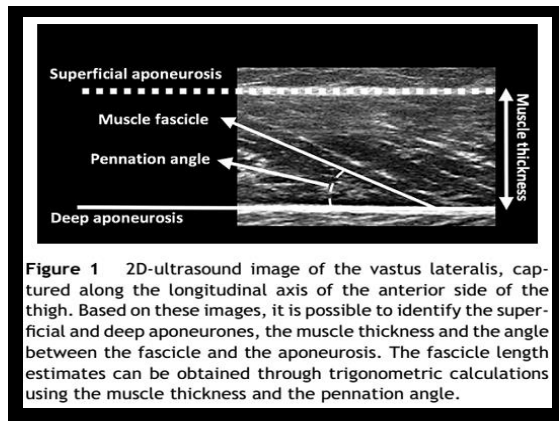
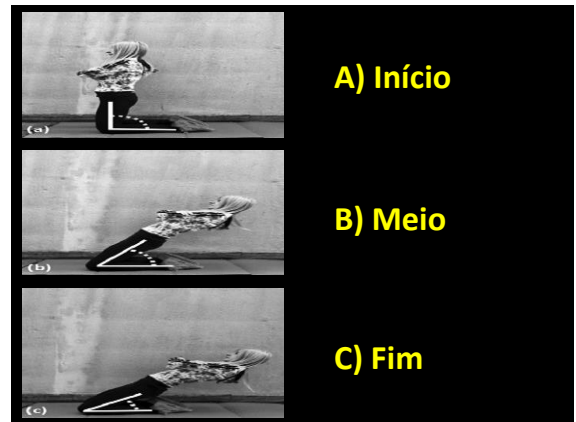


Table 1 Eccentric training progression based on the RNHE.

Week	Nr. sessions/week	Sets	Repetitions	Total nr. of repetitions	REST between sets
1	2	2	6	24	2 min
2	2	2	8	32	2 min
3	3	3	6	54	2 min
4	3	3	8	72	2 min
5	3	3	8	72	2 min
6	3	3	10	90	2 min
7	3	3	10-12	90-108	2 min

Table 2 Changes in the muscle architecture of the vastus lateralis and the vastus medialis before week 8 and after week 8 the intervention and after the detraining period, week 12, (mean \pm SD).

Eccentric protocol with RNHE (N=28)					
	Week 1	Week 8	Week 12	% Change Week 1–2	% change Week 2–2
Vastus lateralis					
FL (cm)	10.88 \pm 1.42	11.14 \pm 1.51*	11.03 \pm 1.54#	2.39	-0.99
RFL	5.07 \pm 0.69	5.03 \pm 0.75	5.05 \pm 0.77	-0.79	0.39
PA (°)	14.21 \pm 1.89	14.84 \pm 2.03*	14.55 \pm 2.11#	4.43	-1.95
MT (cm)	2.15 \pm 0.13	2.24 \pm 0.14*	2.19 \pm 0.14#	4.18	-2.23
Vastus medialis					
FL (cm)	11.89 \pm 1.27	12.29 \pm 1.33*	11.96 \pm 1.31#	3.36	-2.68
RFL	4.27 \pm 0.55	4.30 \pm 0.57	4.25 \pm 0.55	0.71	-1.16
PA (°)	14.77 \pm 1.98	15.29 \pm 1.81*	14.94 \pm 2.02#	3.52	-2.29
MT (cm)	2.81 \pm 0.33	2.99 \pm 0.37*	2.84 \pm 0.34#	6.41	-5.02

SD, standard deviation; RNHE, Reverse Nordic Hamstring Exercise; FL, fascicle length; RFL, fascicle length relative to muscle thickness; PA, pennation angle; MT, muscle thickness. Footnote: * $P<0.05$ vs. week 1, ** $P<0.01$ vs. week 1, # $P<0.05$ vs. week 2, ## $P<0.001$ vs. week 2.

ACTA PHYSIOLOGICA

Acta Physiol 2014, 210, 643–654

Architectural, functional and molecular responses to concentric and eccentric loading in human skeletal muscle

M. V. Franchi,^{1,2} P. J. Atherton,¹ N. D. Reeves,² M. Flück,³ J. Williams,¹ W. K. Mitchell,¹ A. Selly,¹ R. M. Beltran Valls¹ and M. V. Narici¹

¹ School of Graduate Entry Medicine and Health, MRC-ARUK Centre of Excellence for Musculoskeletal Ageing Research, University of Nottingham, Derby, UK

² School of Healthcare Sciences, Institute for Biomedical Research into Human Movement and Health, Manchester Metropolitan University, Manchester, UK

³ Department of Orthopaedics, University of Zurich, Balgrist University Hospital, Zurich, Switzerland

Respostas estruturais, funcionais e moleculares ao TF concêntrico e excêntrico no músculo humano



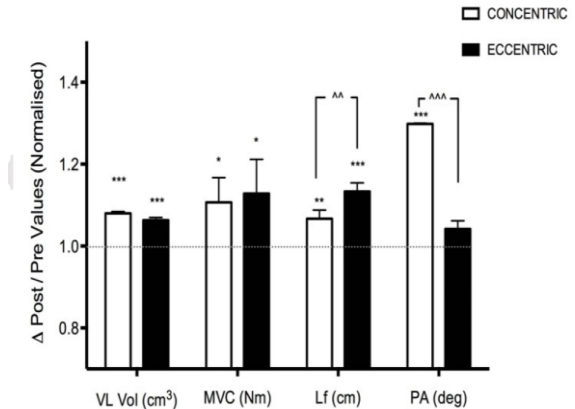
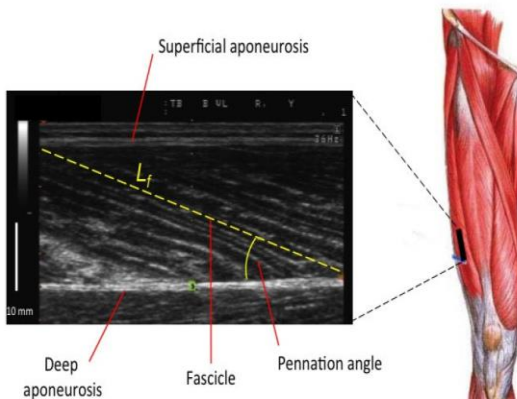
Table 1. Maximum lifting or lowering ability changes for the CON Group (CON) and the ECC one (ECC).

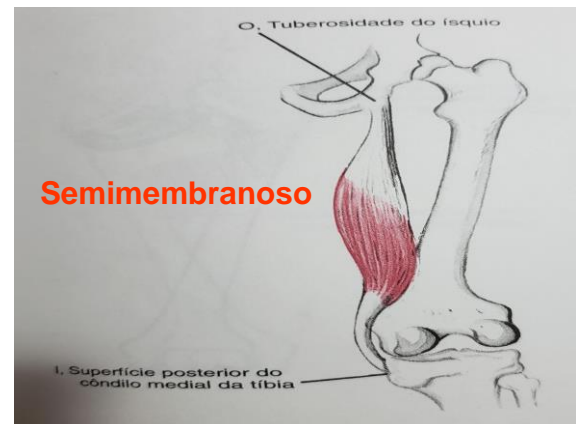
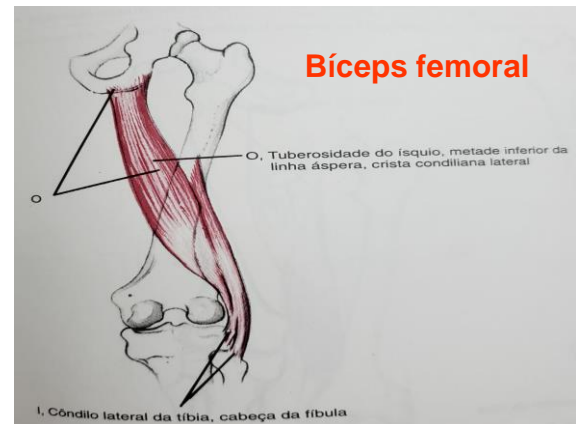
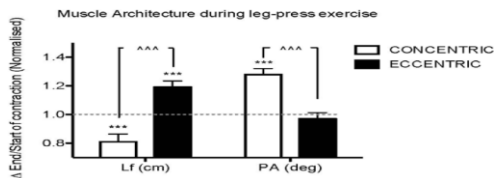
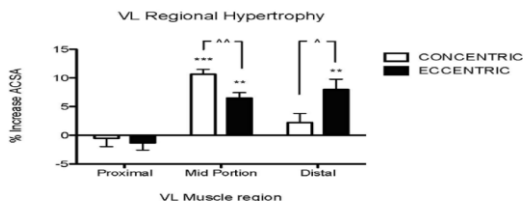
EMG values were recorded only at baseline during 1RM leg-press for concentric and eccentric phases.

Load ratio is also showed and calculated as the ratio of pre and post ECC/CON training loads.

CON 1RM (Kg)			ECC 1RM (Kg)			Load ratio		
Pre	Post	Δ%	Pre	Post	Δ%	Pre	Post	
192 \pm 16	262 \pm 30	36*	233 \pm 13	337 \pm 9	44*	1.21	1.29	
EMG (mV)						EMG (mV)		
0.33 \pm 0.1						0.31 \pm 0.1		

(Pre = baseline, Post = Post-training) values are means \pm SEM (* $P<0.05$, pre-to-post difference).





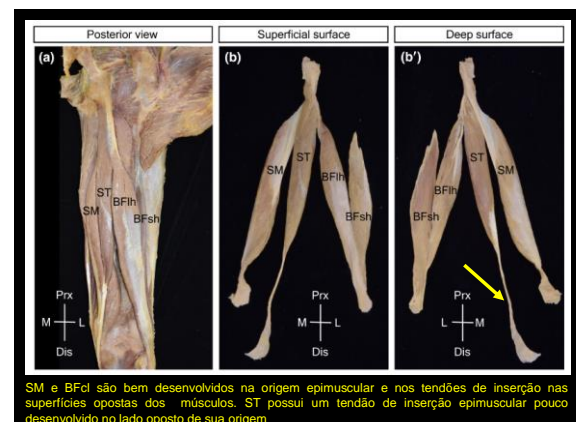
Received: 18 September 2022 | Revised: 22 February 2023 | Accepted: 24 February 2023
DOI: 10.1111/joa.13860

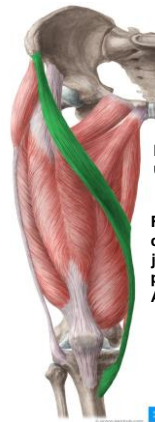
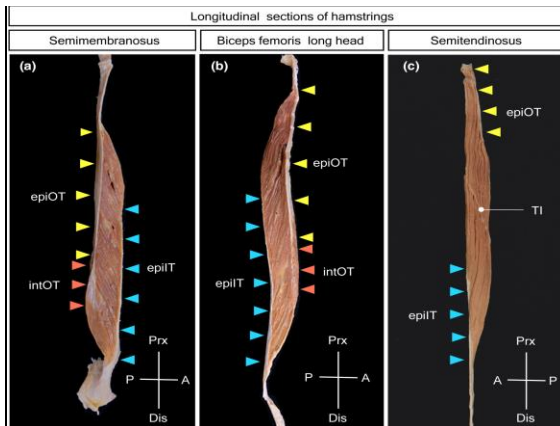
ORIGINAL ARTICLE

Journal of Anatomy ANATOMICAL SOCIETY WILEY

Unique morphological architecture of the hamstring muscles and its functional relevance revealed by analysis of isolated muscle specimens and quantification of structural parameters

Koichi Takeda¹ | Kota Kato¹ | Koichiro Ichimura¹ | Tatsuo Sakai^{1,2}





O músculo sartório se origina da espinha ilíaca anterior superior da pelve

Em todo o seu trajeto o músculo é recoberto por uma duplicação fascial da fáscia lata (Floyd, 2016).

Flexão do quadril, flexão do joelho, rotação lateral da coxa à medida que ela flexiona o quadril e o joelho, abdução do quadril, rotação anterior da pelve e rotação medial fraca do joelho.

A inervação é no nervo femoral (L2 e L3).

A sua inserção ocorre na pata anserina (pata de ganso ou pes anserinus) medialmente à tuberosidade tibial.

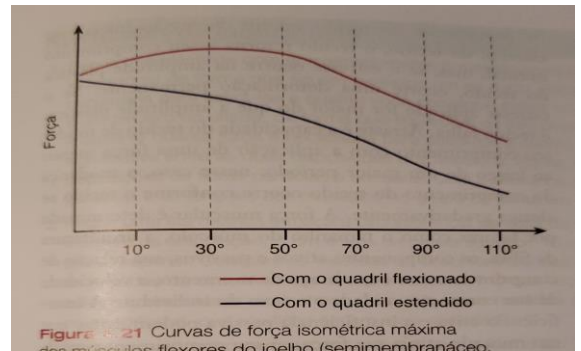


Figura 10.21 Curvas de força isométrica máxima dos músculos flexores do joelho (semimembranoso, semitendíneo, bíceps femoral e gastrocnêmio). Observe que a posição do quadril muda a quantidade de força disponível para a flexão do joelho.

Dufuor & Pillu, 2016

International Journal of Sports Physiology and Performance, 2009, 4, 84-96
© 2009 Human Kinetics, Inc.

Hamstring Activation During Lower Body Resistance Training Exercises

William P. Ebben

METODOLOGIA

34 atletas de futebol americano,

Contração isométrica voluntária máxima - 60° de flexão do joelho na flexora e na extensora para cálculo da razão I/Q

2 repetições com amplitude completa e carga referente a 6RM nos exercícios flexora sentada, flexão nórdica, good morning (bom dia), stiff bi e unilateral, e agachamento.

Table 1 Subject Characteristics

Variable	All Subjects	Women (N = 13)	Men (N = 21)
Age (y)	20.38 ± 1.78	20 ± 0.70	20.61 ± 0.71
Age range (y)	18–26	19–21	18–26
Weight (kg)	77.94 ± 18.30	63.64 ± 18.30	86.80 ± 17.90
Weight range (kg)	54.55–133.64	54.55–72.73	65.90–133.64
Training (days/week)	4.15 ± 1.79	4.00 ± 1.77	4.24 ± 1.84
Squat 6 RM (kg)	101.47 ± 34.08	68.18 ± 12.31	122.07 ± 25.65
Squat 6RM range (kg)	52.27–184.09	52.27–88.64	84.09–184.09

Values are mean ± SD.

Table 2 Percentage of H RMS EMG of the MVIC for Each of the Resistance Training Exercises Evaluated (Analysis of All Subjects; N = 34)

	Russian Curl (RC)	Seated Leg Curl (SLC)	Stiff Leg Dead Lift (SLDL)	Single Leg Stiff Leg Dead Lift (SGLDL)	Good Morning (GM)	Squat (S)
RMS normalized as % RMS MVIC	98.0 ± 39.0 ^b	81.0 ± 28.0 ^b	49.0 ± 27.0 ^b	48.0 ± 39.0 ^b	43.0 ± 16.0 ^b	27.0 ± 20.0 ^b

Table 3 Percentage of Q RMS EMG of the MVIC for Each of the Resistance Training Exercises Evaluated (Analysis of All Subjects; N = 34)

Squat (S)	Single Leg Stiff Leg Dead Lift (SGLDL)	Good Morning (GM)	Stiff Leg Dead Lift (SLDL)	Seated Leg Curl (SLC)	Russian Curl (RC)
RMS normalized as % RMS MVIC	74.0 ± 40.0 ^b	20.0 ± 10.0 ^b	120 ± 8.0 ^b	12.0 ± 20.0 ^b	7.0 ± 5.0 ^b

Table 4 H (% RMS EMG MVIC)-to-Q (% RMS EMG MVIC) Ratio for Each of the Resistance Training Exercises Evaluated (Analysis of All Subjects; N = 34)

	Russian Curl (RC)	Seated Leg Curl (SLC)	Stiff Leg Dead Lift (SLDL)	Good Morning (GM)	Single Leg Stiff Leg Dead Lift (SGLDL)	Squat (S)
Hamstring-to-quadriceps ratio	25.09 ± 14.47	14.85 ± 9.77	8.23 ± 5.18	4.87 ± 3.15	2.91 ± 1.56	0.37 ± 0.21

Values are mean ± SD. All exercises are significantly different from each other ($p < .05$).

Table 5 Gender Differences in H-to-Q Quadriceps Ratio Expressed as RMS EMG Normalized as a Percentage of RMS EMG of the MVIC

	Russian Curl (RC)	Seated Leg Curl (SLC)	Stiff Leg Dead Lift (SLDL)	Good Morning (GM)	Single Leg Stiff Leg Dead Lift (SGLDL)	Squat (S)
Men (N = 21)	29.14 ± 16.23	17.45 ± 8.80	8.96 ± 5.96	5.90 ± 3.38	3.36 ± 1.70	0.38 ± .20
Women (N = 13)	18.56 ± 7.90	10.65 ± 10.13	7.06 ± 3.50	3.18 ± 1.80	2.20 ± 0.98	0.34 ± .23
H:Q of women expressed as a percentage of male H:Q	64.7%*	61.0%*	78.8%	53.9%*	65.5%*	89.5%

Values are mean ± SD. H:Q, hamstrings-to-quadriceps ratio.

*Mean H:Q ratios are significantly different between men and women ($P < .05$).

Table 6 Gender Differences in H-to-Q Ratio Expressed as RMS EMG Normalized as a Percentage of RMS EMG of the MVIC for Strength Matched Men and Women

	Russian Curl (RC)	Seated Leg Curl (SLC)	Stiff Leg Dead Lift (SLDL)	Good Morning (GM)	Single Leg Stiff Leg Dead Lift (SGLDL)	Squat (S)
Men (N = 3)	46.96 ± 14.50	27.59 ± 10.90	17.21 ± 1.99	7.76 ± 1.21	5.86 ± 2.37	0.25 ± .07
Women (N = 3)	16.84 ± 7.58	17.78 ± 21.04	9.50 ± 3.87	3.12 ± 2.22	2.38 ± 0.10	0.19 ± .02
H:Q of women expressed as a percentage of male H:Q	35.9%*	64.4%*	55.2%*	40.2%*	40.6%*	76.0%*

Values are mean ± SD. H:Q, hamstrings-to-quadriceps ratio.

*Mean hamstrings to quadriceps ratios are significantly different between men and women ($P < .05$).

TITLE

Impact of the Nordic hamstring and hip extension exercises on hamstring architecture and morphology: implications for injury prevention

Authors

Matthew N. Bourne^{1,3,4}, Steven J. Duhig^{2,3}, Ryan G. Timmins⁵, Morgan D. Williams⁶, David A. Opar⁵, Aiman Al Najjar⁷, Graham K. Kerr^{2,3}, Anthony J. Shield^{2,3}.

Bourne MN et al. Impact of the Nordic hamstring and hip extension exercises on hamstring architecture and morphology: implications for injury prevention. British Journal of Sports Medicine, 51(5), 2016.

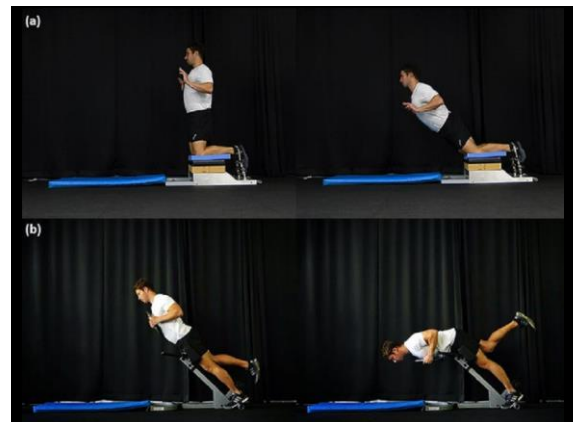


Table 3. Participant characteristics

Group	Age (years)	Height (cm)	Mass (kg)
HE	23.1±4.1	180±6.3	81.6±9.7
NHE	21.6±3.2	182.8±8.7	85.0±10.9
CON	21.3±3.7	178.5±5.4	75.9±11.8

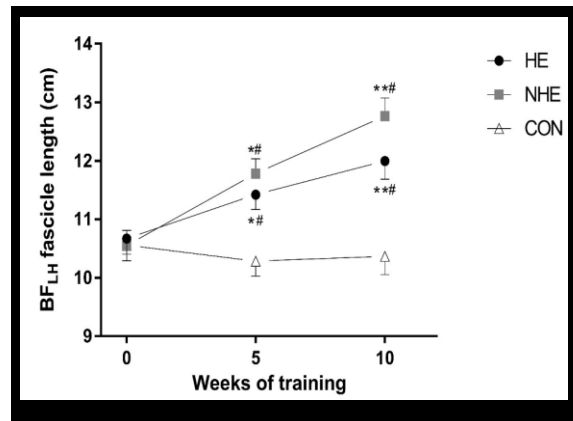
20 sessões, 2 x semana durante 10 semanas.

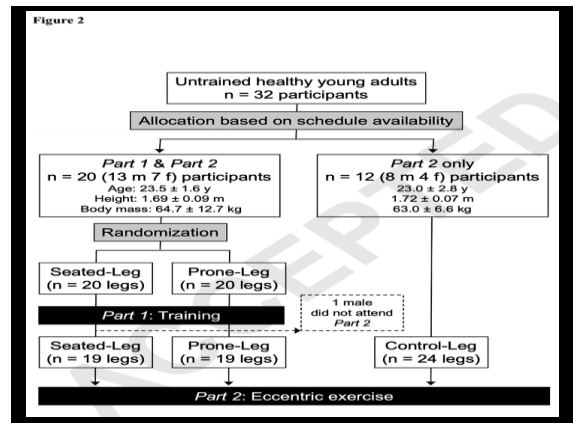
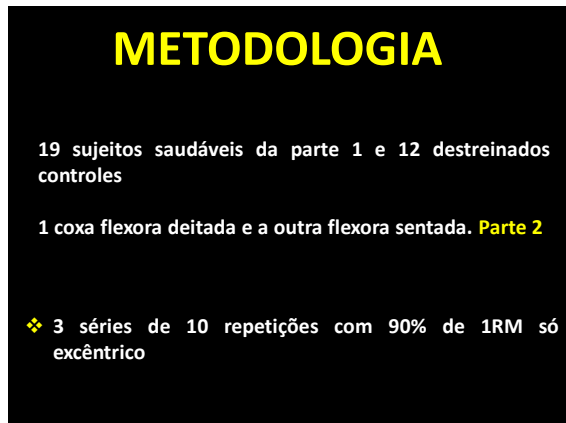
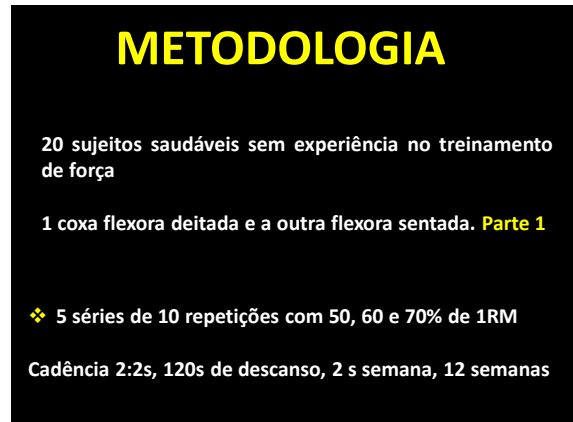
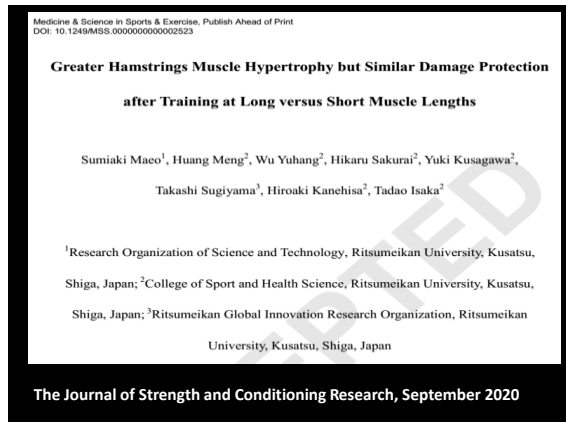
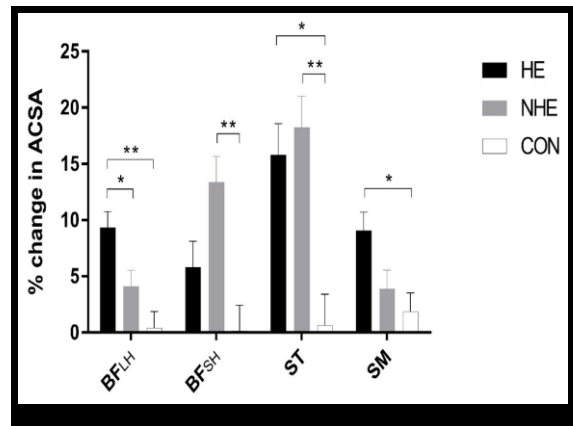
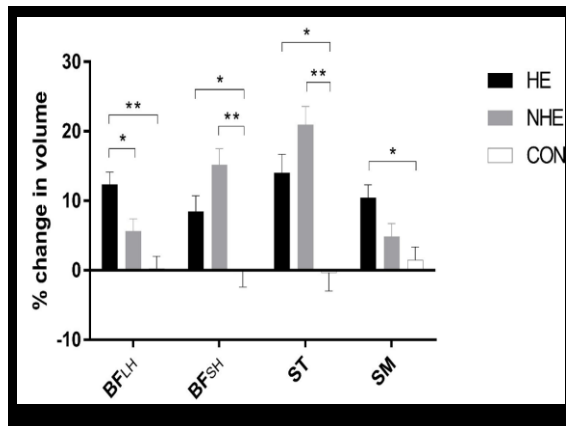
Os participantes realizaram de 2 até 6 séries com 6 até 10 repetições que variaram ao longo das 10 semanas.

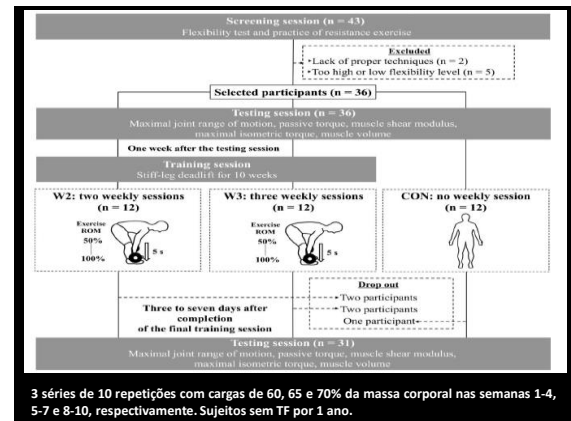
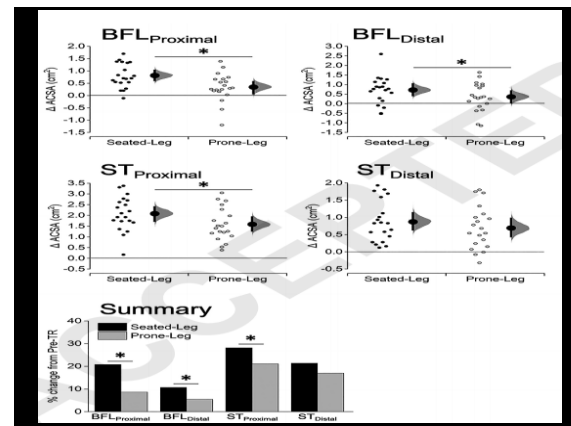
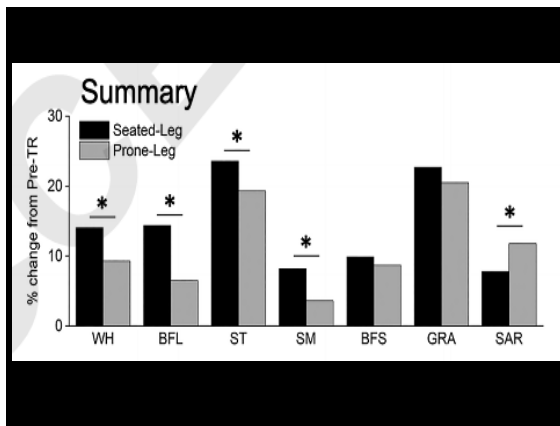
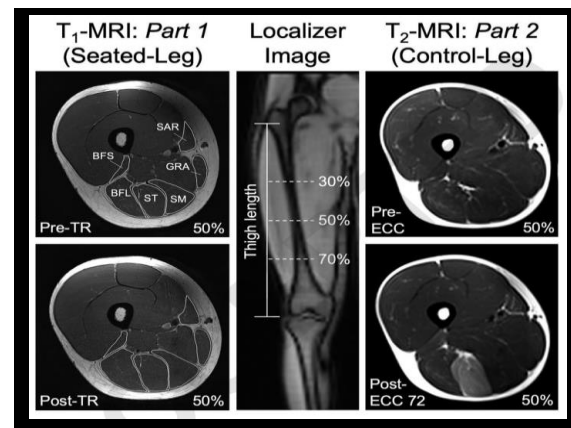
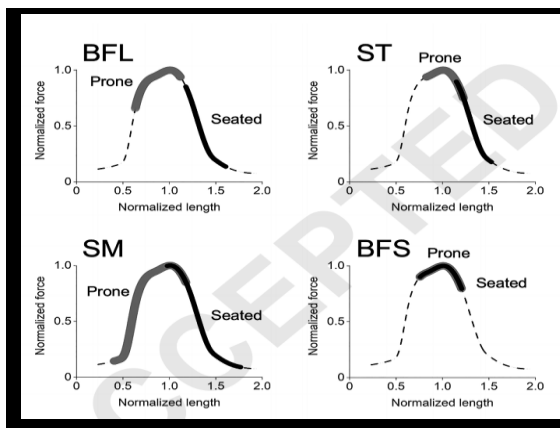
Table 1. Training program variables for both the Nordic hamstring and hip extension training groups

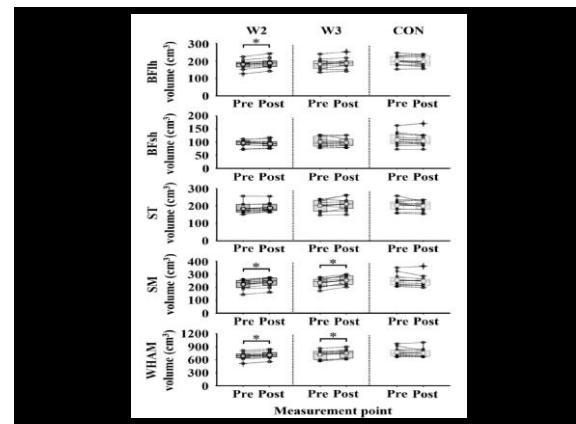
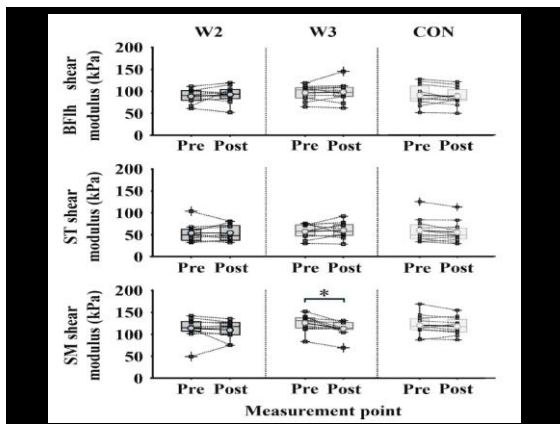
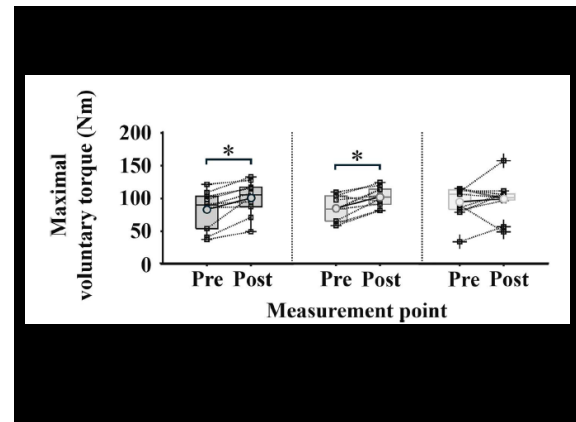
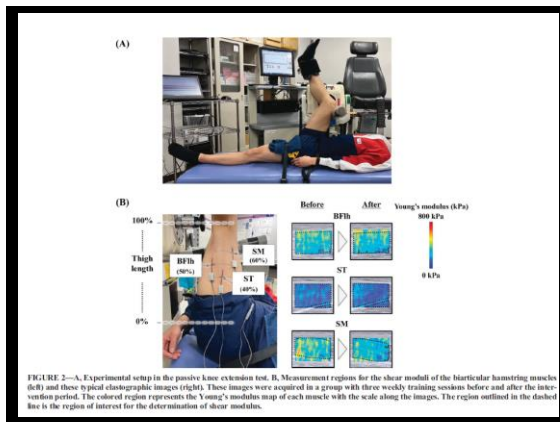
Week	Frequency	Sets	Repetitions
1	2	2	6
2	2	3	6
3	2	4	8
4	2	4	10
5-8	2	5	8-10
9	2	6	6
10	2	5	5

Week	Training Intensity (Load)	
	Nordic Hamstring exercise	Hip extension exercise
1	Load was added to the chest in increments of 2.5kg when participants developed sufficient strength to stop at the end of the range of motion.	60-70% of 1-RM
2		70-80% of 1-RM
3		All exercise was completed at maximal intensity of effort. Loads were progressively increased when
4		
5-8		
9		desired repetitions and sets were achieved.
10		









Gluteal Muscle Forces during Hip-Focused Injury Prevention and Rehabilitation Exercises

TYLER J. COLLINGS^{1,2}, MATTHEW N. BOURNE^{1,2}, ROB S. BARRETT^{1,2}, EVY MEINDERS^{1,2},

BASÍLIO A. M. GONÇALVES^{1,2}, ANTHONY J. SHIELD^{1,2}, and LAURA E. DIAMOND^{1,2}

¹School of Health Sciences and Social Work, Griffith University, Gold Coast Campus, Queensland, AUSTRALIA; ²Griffith Centre of Biomotion and Rehabilitation, School of GCM, Griffith Institute of Health and Biomedicine, Griffith University, Gold Coast Campus, Queensland, AUSTRALIA; ³School of Exercise and Nutrition Sciences and Institute of Health and Biomedicine Innovation, Queensland University of Technology, Kelvin Grove, Brisbane, Queensland, AUSTRALIA; ⁴Institute of Health and Biomedical Innovation, Queensland University of Technology, Kelvin Grove, Brisbane, Queensland, AUSTRALIA; and ⁵Centre of Clinical Research Excellence in Spinal Pain, Injury and Health, School of Health and Rehabilitation Sciences, The University of Queensland, Brisbane, AUSTRALIA

Med. Sci. Sports Exerc., Vol. 55, No. 4, pp. 650–660, 2023.

METODOLOGIA

14 jogadoras de futebol (18-32 anos) - pelo menos 3 meses de experiência em treinamento de membros inferiores.

8 exercícios focados no quadril quanto as forças musculares do músculo glúteo corpo e carga de 12 RM.

Medidas realizadas: captura de movimento, forças de reação do solo e a eletromiografia (EMG) num modelo para estimar as forças do glúteo máximo, médio e mínimo.

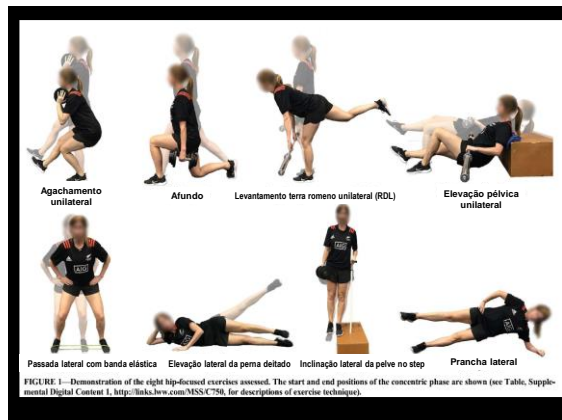


FIGURE 1—Demonstration of the eight hip-focused exercises assessed. The start and end positions of the concentric phase are shown (see Table, Supplemental Digital Content 1, <http://links.lww.com/MSS/C750>, for descriptions of exercise technique).

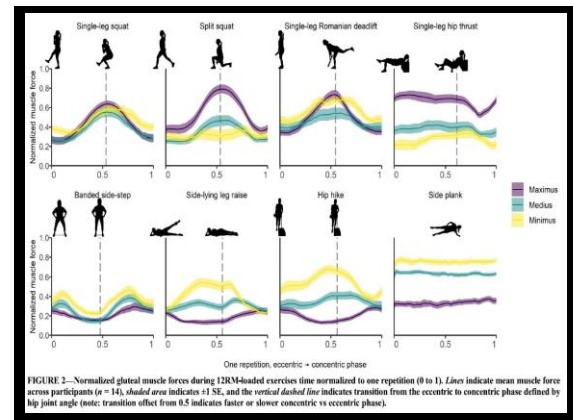


FIGURE 2—Normalized gluteal muscle forces during 12RM-loaded exercises time normalized to one repetition (0 to 1). Lines indicate mean muscle force across participants ($n = 14$), shaded area indicates ± 1 SE, and the vertical dashed line indicates transition from the eccentric to concentric phase defined by hip joint angle (note: transition offset from 0.5 indicates faster or slower concentric vs eccentric phase).

RESULTADOS

Nível 1 para o glúteo máximo:

Afundo (495-688 N), RDL unilateral (500-655 N) e Elevação pélvica unilateral (505-640 N) com carga de 12RM

Nível 1 para o glúteo médio:

Prancha lateral com peso corporal (338-483 N), Agachamento unilateral com 12RM (278-422 N) e RDL unipodal com 12RM (283-405 N)

Nível 1 para glúteo mínimo:

RDL unilateral (267-389 N)

Prancha lateral com peso corporal (272-382 N)

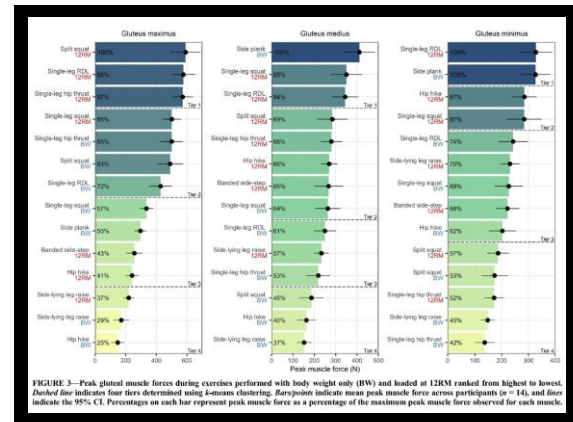


FIGURE 3—Peak gluteal muscle forces during exercises performed with body weight only (BW) and loaded at 12RM ranked from highest to lowest. Dashed line indicates four tiers determined using k-means clustering. Barpoints indicate mean peak muscle force across participants ($n = 14$), and lines indicate the 95% CI. Percentages on each bar represent peak muscle force as a percentage of the maximum peak muscle force observed for each muscle.

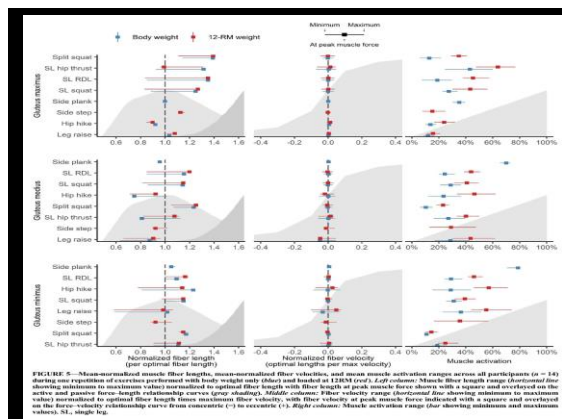


FIGURE 4—Muscle fiber length and velocity during one repetition of exercises performed with body weight only (blue) and loaded at 12RM (red). Left column: Muscle fiber length range (horizontal line indicates optimal fiber length per max velocity). Middle column: Fiber length range (horizontal line showing minimum to maximum fiber length per max velocity). Right column: Muscle activation range (bar showing minimum and maximum velocity). SL = single leg.

CONCLUSÕES

O pico de força do glúteo aumentou em 28-150 N com resistência externa de 12RM comparado ao peso corporal.

O pico de força muscular coincidiu com o comprimento máximo da fibra para a maioria dos exercícios.

Elevação pélvica unilateral atingiu o pico de força do glúteo máximo no seu comprimento ótimo,

Sem contribuição de forças passivas, e teve a maior ativação do glúteo máximo (77%) para produzir força.

[RESEARCH REPORT]

DAVID M. SELKOWITZ, PT, PhD, OCS, DAAPM • GEORGE J. BENECK, PT, PhD, OCS¹ • CHRISTOPHER M. POWERS, PT, PhD, FAPTA²

Which Exercises Target the Gluteal Muscles While Minimizing Activation of the Tensor Fascia Lata? Electromyographic Assessment Using Fine-Wire Electrodes

FEBRUARY 2013 | VOLUME 43 | NUMBER 2 | JOURNAL OF ORTHOPAEDIC & SPORTS PHYSICAL THERAPY

TABLE 1

NORMALIZED ELECTROMYOGRAPHIC AMPLITUDE OF EACH MUSCLE FOR EACH EXERCISE*

Exercise	Tensor Fascia Lata	Gluteus Medius	Superior Gluteus Maximus
Sidelying hip abduction	32.3 ± 13.1	43.5 ± 14.7 (P = .012) ^b	23.7 ± 15.3 (P = .033) ^b
Bilateral bridge	8.2 ± 7.4	15.0 ± 10.5 (P = .011) ^b	17.4 ± 11.9 (P = .008) ^b
Clam	11.4 ± 11.4	26.7 ± 18.0 (P = .006) ^b	43.6 ± 26.1 (P < .001) ^b
Hip hike	31.4 ± 14.4	37.7 ± 15.1 (P = .196)	17.7 ± 15.2 (P = .001) ^b
Lunge	21.6 ± 14.5	19.3 ± 12.9 (P = .623)	20.1 ± 11.1 (P = .728)
Quadruped hip extension, knee extending	15.6 ± 9.3	27.3 ± 14.9 (P < .002) ^b	28.5 ± 16.6 (P < .007) ^b
Quadruped hip extension, knee flexed	18.7 ± 10.6	30.9 ± 15.2 (P = .001) ^b	30.1 ± 12.5 (P = .012) ^b
Sidestep	13.1 ± 7.1	30.2 ± 15.7 (P = .002) ^b	27.4 ± 16.7 (P = .002) ^b
Squat	4.6 ± 3.8	9.7 ± 7.3 (P = .017) ^b	12.9 ± 7.9 (P < .001) ^b
Step-up	21.4 ± 11.4	29.5 ± 14.9 (P = .065)	22.8 ± 15.6 (P = .754)
Unilateral bridge	18.1 ± 12.9	30.9 ± 20.7 (P = .007) ^b	34.6 ± 16.8 (P = .001) ^b

*Values are mean ± SD percent maximum voluntary isometric contraction.

^aSignificantly greater than tensor fascia lata (P < .05).

^bSignificantly less than tensor fascia lata (P < .05).

TABLE 2

GLUTEAL-TO-TFL INDEX FOR EACH EXERCISE

Exercise	Gluteal-to-TFL Activation Index
Clam*	115
Sidestep*	64
Unilateral bridge*	59
Quadruped hip extension, knee extending*	50
Quadruped hip extension, knee flexed*	50
Sidelying hip abduction	38
Step-up	32
Bilateral bridge*	32
Squat*	28
Hip hike	28
Lunge	18

Abbreviations: TFL, tensor fascia lata.

*Exercises in which both gluteal muscles demonstrated significantly higher normalized electromyographic signal amplitude than the TFL.

Exercise

Description

Image

Clam in sidelying, with elastic resistance around thighs	Starting position was lying on a hook-lying table on the side, with the tested limb. The table was placed along a wall. Both limbs were flexed to 45° at the hip and 90° at the knee, with the tested limb on top of the other limb. The subject's back and plantar surface of the foot were placed against the wall for control of position and movement. The subject raised the tested limb's knee up off the other limb, such that the hip was in 30° of abduction, before returning to the starting position while keeping the heel on the surface of the other limb. Subjects performing this activity with blue-colored Theraband (The Hygenic Corporation, Akron, OH) around the distal thighs, with no stretch or slack on the tubing prior to raising the limb. The elastic resistance was used because the motion involved is a multiplanar arc that is only minimally resisted by gravity.	
Bilateral bridge	Starting position was hook-lying with the knees at 90° of flexion, hips at 45° of flexion, 0° of rotation and abduction, trunk in neutral, and feet flat on the table. The subject then pushed both feet into the table to raise the pelvis until a position of 90° of hip flexion was achieved, while maintaining 0° of rotation to the starting position. The hips remained at 0° of rotation and abduction during the exercise, with the trunk in neutral.	
Unilateral bridge	Starting position was unilateral hook-lying, as that described for the bilateral bridge, except that the nontested lower limb remained on the table (0° at the hip and knee). The subject then pushed with the tested limb's foot into the table to raise the pelvis until a position of 90° of knee flexion was achieved ipsilaterally, before returning to the starting position. The non-tested lower limb moved up and down with the pelvis, without changing the positions of its joints. The hips remained at 0° of rotation and abduction during the exercise, with the pelvis and trunk in neutral.	

frontiers | Frontiers in Physiology

Original Research
published: 09 October 2023
doi: 10.3389/fphys.2023.1279170

Hip thrust and back squat training elicit similar gluteus muscle hypertrophy and transfer similarly to the deadlift

Daniel L. Plotkin^{1*}, Merlinia A. Rodas², Andrew D. Vigotsky^{3,4}, Mason C. McIntosh¹, Emma Breeze¹, Rachel Ubrik¹, Cole Robitsch¹, Anthony Agyin-Birkorang¹, Madison L. Mattingly¹, J. Max Michel¹, Nicholas J. Kontos¹, Sarah Lennon⁵, Andrew D. Frugé⁵, Christopher M. Wilburn¹, Wendi H. Weimar¹, Adil Bashir⁶, Ronald J. Beyers⁶, Mennno Henselmans⁷, Brett M. Contreras⁸ and Michael D. Roberts^{1*}

¹School of Kinesiology, Auburn University, Auburn, AL, United States, ²Department of Psychological Sciences, Auburn, AL, United States, ³Department of Biomedical Engineering and Statistics, University of Illinois, Urbana, IL, United States, ⁴Department of Neuroscience, Northwestern University, Chicago, IL, United States, ⁵College of Nursing, Auburn University, Auburn, AL, United States, ⁶MSK Research Center, Auburn University, Auburn, AL, United States, ⁷Department of Kinesiology, University of Twente, Enschede, The Netherlands, ⁸BC Strength, San Diego, CA, United States

RECEIVED: 17 August 2023
ACCEPTED: 27 September 2023
PUBLISHED: 09 October 2023

*Correspondence:
Daniel L. Plotkin,
dplotkin@auburn.edu
Michael D. Roberts,
mroberts@auburn.edu

REVIEWED: 17 August 2023
EDITED: 27 September 2023
PUBLISHED: 09 October 2023

METODOLOGIA

Universitários destreinados durante 9 semanas, 2 x semana.

3–6 séries por sessão de EP ou AG.

Esquemas de séries semanais por sessão foram os seguintes: semana 1, 3 séries; semana 2, 4 séries; semanas 3–6, 5 séries; semanas 6–9, 6 séries. A zona de treino foi de 8–12RM; sendo a carga foi ajustada de acordo.

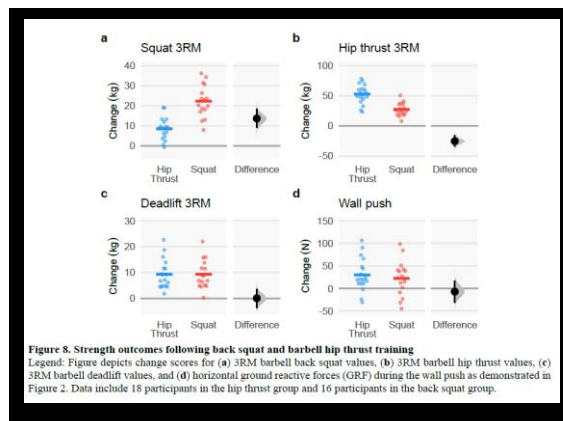
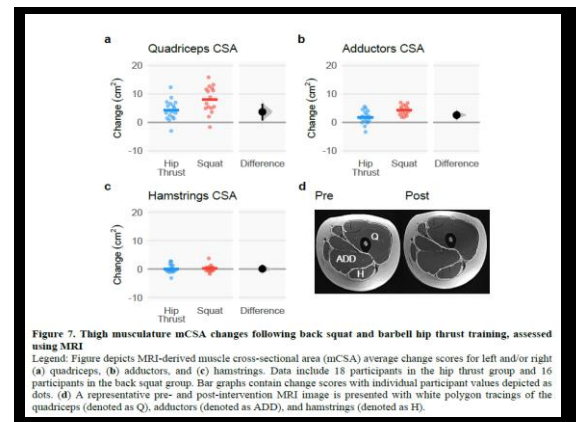
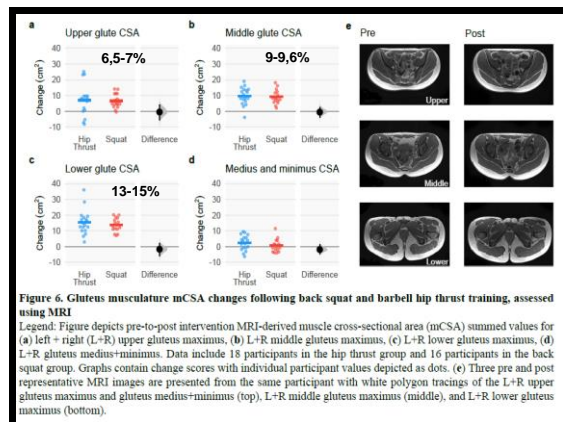
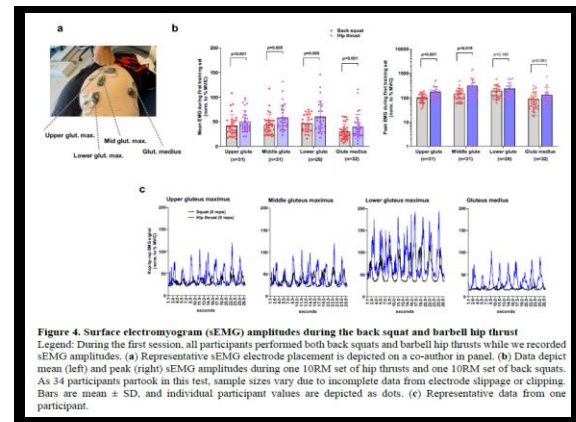
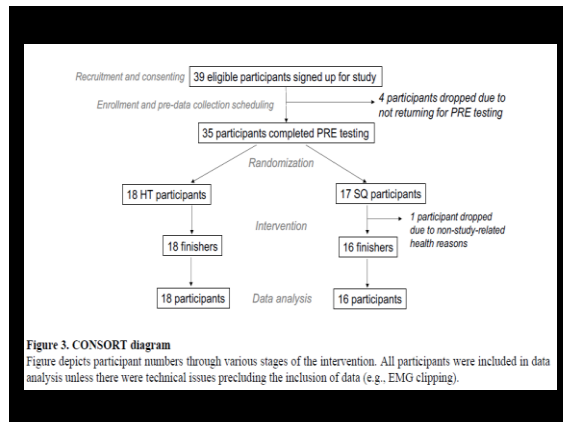


Table 1. Descriptive scores for each training variable						
Variable	SQ PRE	SQ POST	SQ Δ	HT PRE	HT POST	HT Δ
SMM (kg)	21.6 (5.0)	22.2 (5.3)	0.7 (0.8)	21.9 (4.8)	22.4 (5.0)	0.5 (0.9)
FM (kg)	20.3 (5.0)	19.5 (4.2)	-0.7 (1.7)	19.7 (6.2)	19.4 (6.0)	-0.4 (1.5)
Squat 3RM (kg)	49.8 (17.6)	71.9 (22.2)	22.1 (8.4)	53.2 (15.7)	61.9 (15.4)	8.68 (5.2)
Hip Thrust 3RM (kg)	79.8 (24.0)	106.7 (51.9)	26.9 (11.7)	81.8 (25.3)	134.4 (27.7)	52.7 (15.4)
Deadlift 3RM (kg)	61.5 (17.5)	70.7 (21.1)	9.2 (5.7)	59.0 (17.0)	68.2 (15.6)	9.2 (5.5)
Wall push (N)	299.3 (97.2)	322.1 (101.1)	22.8 (39.1)	298.1 (80.9)	327.9 (64.3)	29.8 (36.7)
Gmax Upper CSA (cm ²)	52.0 (17.9)	58.5 (16.7)	6.5 (4.9)	50.9 (13.9)	58.0 (15.7)	7.1 (9.8)
Gmax Middle CSA (cm ²)	92.2 (22.9)	101.3 (23.1)	9.16 (4.4)	88.71 (16.6)	98.31 (19.2)	9.6 (5.7)
Gmax Lower CSA (cm ²)	72.4 (21.0)	86.2 (23.9)	13.8 (4.8)	71.0 (17.2)	86.3 (18.3)	15.3 (7.6)
MED-MIN CSA (cm ²)	79.1 (16.4)	79.6 (14.9)	0.5 (4.6)	76.4 (14.1)	79.0 (14.1)	2.6 (4.8)
QUAD CSA (cm ²)	61.8 (16.4)	69.8 (17.7)	7.9 (4.8)	63.8 (12.5)	68.1 (12.8)	4.3 (3.4)
ADD CSA (cm ²)	41.4 (9.4)	45.6 (9.5)	4.2 (1.7)	40.6 (8.9)	42.2 (9.5)	1.7 (2.3)

Abbreviations: SMM, skeletal muscle mass; RM, repetition maximum; GRF, ground reaction force; mCSA, muscle cross-sectional area; Gmax, Gluteus Maximus; MED-MIN, Gluteus medius and minimus; QUAD, quadriceps; ADD, adductors; HAM, hamstring. Symbol Δ , pre-to-post intervention change score. Note: all data are presented as mean (standard deviation).

ORIGINAL RESEARCH

PERCEIVED LOADING AND MUSCLE ACTIVITY DURING HIP STRENGTHENING EXERCISES: COMPARISON OF ELASTIC RESISTANCE AND MACHINE EXERCISES

Mikkal Brandt, MSc¹
 Markus Due Jakobsen, MSc^{1,2}
 Kristian Thorborg, PhD³
 Emil Sundstrup^{1,2}
 Kenneth Jay, MSc^{1,2,4}
 Lars L. Andersen, PhD¹

The International Journal of Sports Physical Therapy | Volume 8, Number 6 | December 2013 | Page 811

ATIVAÇÃO MUSCULAR E PSE DURANTE EXERCÍCIOS PARA O QUADRIL: COMPARAÇÃO DE BANDAS ELÁSTICAS COM MÁQUINAS

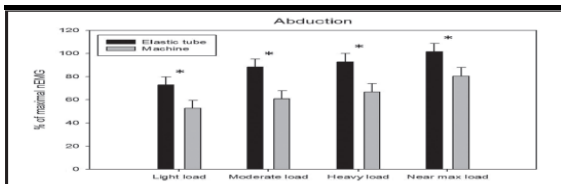


Figure 2. nEMG for the abduction exercise. * indicate statistically significance.

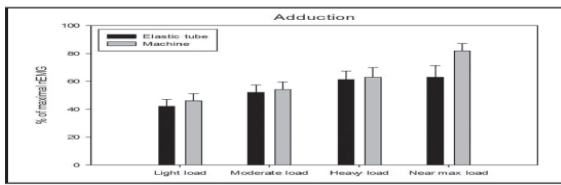


Figure 3. nEMG for the adduction exercise.

EXEMPLO DE PROGRAMA DE TREINAMENTO COM DIVISÃO, VOLUME, EXERCÍCIOS E OUTROS DETALHES.

- Treino A – Glúteo
 - 1- Leg press unilateral 45° ou horizontal (ou similar)
 - 2 séries de 10-12 reps sem falha
 - 1 série de 10-12RM
 - 2 séries de 8-10 RM
 - 1 série de 4-6RM
 - 2-3 minutos de descanso entre as séries
- 2 – Frog reverso no Smith
 - 4 séries de 8-10RM
 - 2 minutos de descanso entre as séries
- 3 – Elevação pélvica livre ou máquina com band no joelho
 - Método ondulatório
 - 1 série acima de 15 repetições pausa de 2 minutos, 1 série abaixo de 6 repetições, pausa de 2 minutos, completar 4 séries acima de 15 reps e 4 séries abaixo de 6 reps.
 - 2 minutos de descanso entre as séries
- 4 – Búlgaro na máquina articulada ou similar
 - 3 séries de 10-12RM
 - 2 séries de 6-8 RM
- 5 – Abdômen na máquina quadril em 45°
 - 5 séries de 8-12RM
 - 1,5 minutos de descanso entre as séries
- 6 – Panturrilha em pé
 - Método ondulatório
 - 1 série acima de 15 repetições pausa de 2 minutos, 1 série abaixo de 6 repetições, pausa de 2 minutos, completar 4 séries acima de 15 reps e 4 séries abaixo de 6 reps.
 - 2 minutos de descanso entre as séries

- TREINO DE POSTERIORES – C
 - 1 – Serr lombar livre
 - 2 séries de 10-12 reps sem falha
 - 1 série de 10-12RM
 - 2 séries de 8-10RM
 - 1 série de 4-6RM
 - 2-3 minutos de descanso entre as séries
- 2 – Flexora detida
 - Método ondulatório
 - 1 série acima de 15 repetições pausa de 2 minutos, 1 série abdômen de 6 repetições, pausa de 2 minutos, completar 4 séries acima de 15 reps e 4 séries abaixo de 6 reps.
 - 2 minutos de descanso entre as séries
- 3 – Flexora sentada
 - 4 séries de 8-12RM
 - 1,5 minutos de descanso entre as séries
- 4 – Banco romano com os joelhos flexionados no smith
 - 4 séries sem contar repetições
 - 1,5 minutos entre as séries
- 5 – Abdômen quadril tronco inclinado 10°
 - 6 séries de 8-12RM
 - 1,5 minutos de descanso entre as séries
- 6 – Abdômen em pé na polia baixa com rotação externa do pé
 - 2 séries de 10-12RM
 - 2 séries de 8-10 RM
 - 2 séries de 4-6 RM
 - 1,5 minutos de descanso entre as séries
- 7 – Panturrilha em pé
 - Método ondulatório
 - 2 séries de 8-10RM
 - 2 séries de 4-6 RM
 - 1,5 minutos de descanso entre as séries
- Variar posição dos pés, aberto, fechado e neutro em cada série

Definição do tema: Impacto da seleção dos exercícios e da montagem de treino para a hipertrofia regional, função muscular e prevenção de lesões.

Objetivo da aprendizagem: proporcionar ao profissional da área do movimento os conhecimentos sobre a escolha acertiva dos exercícios e montagem de treino para melhora de função muscular, prevenção e hipertrofia muscular.

Relevância da proposta: A escolha correta dos exercícios e a montagem de treino podem auxiliar sobremaneira na melhora da função e hipertrofia muscular.

Idosa: Hedvirges Prestes, 70 anos, menopausada, massa corporal: 65 kg, % de gordura 30%. Objetivo de reduzir dor patelofemoral, dores lombares e melhorar a função muscular nas atividades diárias. Outros casos serão mencionados para fortalecer o entendimento.

MONTAGENS

- 1. Programas alternados por segmento (para iniciantes em TF);**
- 2. Programas localizados por articulação (para intermediários em TF);**
- 3. Programas direcionados por grupamento muscular (para avançados em TF).**

QUADRO 2. Alternado por segmento parcial (ASP)

TREINO 1 (segmento superior/tronco)

Músculos priorizados	Movimentos articulares priorizados	Denominação popular do exercício
Pectoral maior Deltóide anterior Tríceps braquial	Flexão horizontal de ombros Extensão de cotovelos	Supino máquina
Recto do abdome Extensor do dorso	Flexão da coluna em 30° Extensão de cotovelos	Abdominal supra
Deltóide posterior Biceps braquial	Flexão de cotovelos	Remada sentada
Recto do abdome	Flexão da coluna em 30°	Abdominal supra com coxas a 90°
Deltóide anterior Deltóide médio	Abdução de ombros	Elevação lateral
Obliquos (interno e externo) e quadrado do lombo	Inclinação lateral	Inclinação lateral na polia baixa

TREINO 2 (segmento inferior/tronco)

Músculos priorizados	Movimentos articulares priorizados	Denominação popular do exercício
Quadríceps femoral Glúteo máximo	Extensão de joelhos Extensão de quadril	Leg press
Erectores da coluna	Extensão da coluna	Hiperextensores da coluna
Isquiotibiais	Flexão de joelhos	Mesa flexora
Erectores da coluna Gastrocnêmios e sôleo	Extensão da coluna Flexão plantar	Banco inversor Pressão de sôleos

Marchetti, P.; Charro, M. Estrutura Metodológica para Montagem de Programas e Sistemas de TF. In: Prestes, J.; Foschini, D.; Marchetti, P.; Charro, M. Prescrição e Periodização do TF em academias. São Paulo: Manole, 2010.

VARIÁVEIS DO TREINAMENTO DE FORÇA

Número de exercícios por grupo muscular

Iniciantes 1 exercício

Intermediários 2 exercícios

Avançados 3 a 4 exercícios

Dependendo do intervalo entre os treinos para este grupo muscular e da intensidade

EXEMPLO DE PROTOCOLO PARA INICIANTES

PROGRAMA DE BASE

TIPO E SEQÜÊNCIA DO EXERCÍCIO

Agachamento ou leg press

Supino

Flexão dos joelhos

Remada baixa

Flexão plantar

Extensão dos cotovelos

Exercício abdominal

Flexão dos cotovelos

Extensão do quadril

Elevação lateral

NÚMERO DE SÉRIES

Comece com 1 série e progride até 2 ou 3 séries para cada exercício

INTENSIDADE DO TREINAMENTO

12-15 repetições submáximas progredindo para repetições máximas

DURAÇÃO DO INTERVALO DE DESCANSO

1-2 minutos conforme necessário

Adaptado de Kraemer e Fleck, 2009

LOCALIZADA POR ARTICULAÇÃO

Os próximos 2 exercícios deverão trabalhar o agonista/antagonista utilizando novas articulações.

Field e Roberts, 1999

QUADRO 5. Localizado por articulação – agonista/antagonista

Músculos priorizados	Movimento articular priorizado	Denominação popular do exercício
Quadríceps femoral Glúteo máximo	Extensão de joelhos Extensão de quadril	Leg press
Isquiotibiais	Flexão de joelhos	Mesa flexora
Pectoral maior, deltóide anterior, tríceps braquial	Adução horizontal de ombros Extensão de cotovelos	Supino máquina
Latíssimo do dorso Deltóide posterior Flexores do cotovelo	Abdução horizontal de ombros Flexão de cotovelos	Remada horizontal
Glúteo médio e tensor da fáscia lata	Abdução de quadril	Cadeira abdutora
Adutores magno, longo e curto, grátil e pectíneo	Adução de quadril	Cadeira adutora
Latíssimo do dorso, redondo maior Flexores do cotovelo	Adução de ombros Flexão de cotovelos	Pulley frente
Deltóide (porção média) Supraspinatal, tríceps braquial	Abdução de ombros Extensão de cotovelos	Desenvolvimento máquina
Gastronérmios e sóleo	Flexão plantar	Panturrilha no leg press
Tibial anterior e fibular terceiro	Dorsiflexão	Pola baixa (ponta do pé)
Tríceps braquial	Extensão de cotovelos	Pola alta – tríceps pulley
Bíceps braquial e braquial	Flexão de cotovelos	Banco Scott – rosca Scott
Reto e obliquos do abdômen	Flexão de coluna	Aparelho abdominal
Erectores da coluna	Extensão da coluna	Máquina lower back

Marchetti, P.; Charro, M. Estrutura Metodológica para Montagem de Programas e Sistemas de TF. In: Prestes, J.; Foschini, D.; Marchetti, P.; Charro, M. *Prescrição e Periodização do TF em academias*. São Paulo: Manole, 2010.

QUADRO 6. Localizado por articulação – completo

Músculos priorizados	Movimento articular priorizado	Denominação popular do exercício
Pectoral maior, deltóide anterior, tríceps braquial	Adução horizontal de ombros Extensão de cotovelos	Supino máquina
Latíssimo do dorso, redondo maior, flexores de cotovelo	Adução de ombros	Pulley frente
Latíssimo do dorso, deltóide posterior, bíceps braquial	Extensão de ombros Flexão de cotovelos	Remada sentada
Latíssimo do dorso, deltóide posterior, flexores de cotovelo	Abdução horizontal de ombros Flexão de cotovelos	Remada horizontal
Deltóide (porção média) Supraspinatal, tríceps braquial	Abdução de ombros	Desenvolvimento máquina
Glúteo máximo e isquiotibiais	Extensão de quadril	Glúteo máquina
Glúteo médio e tensor da fáscia lata	Adução de quadril	Cadeira abdutora
Iliopsoas e reto femoral	Flexão de quadril	Pola baixa (cross over)
Adutores magno, longo e curto, grátil e pectíneo	Adução de quadril	Cadeira adutora
Reto e obliquos do abdômen	Flexão de coluna	Aparelho abdominal
Obliquos do abdômen e quadrado lombar	Flexão lateral da coluna	Banco inverSOR
Erectores da coluna	Extensão da coluna	Máquina lower back

Marchetti, P.; Charro, M. Estrutura Metodológica para Montagem de Programas e Sistemas de TF. In: Prestes, J.; Foschini, D.; Marchetti, P.; Charro, M. *Prescrição e Periodização do TF em academias*. São Paulo: Manole, 2010.

TF E DIABETES PRESCRIÇÃO

- | | |
|-------------------|------------------------|
| 1. Leg press | 2. Extensão do quadril |
| 3. Crucifixo máq. | 4. Desenvolvimento |
| 5. Abdominal | 6. Mesa flexora |
| 7. Bicicleta | 8. Esteira |

8 semanas, 3 x semana, circuito - estações 7 exercícios de força alternando com exercícios aeróbios ➔

Adaptado de Maiorana et al., 2002

TF E DIABETES PRESCRIÇÃO

Estação: 45s para os exercícios aeróbios e de força (15 repetições, 3s cada), **intervalo** entre as estações: 15s, totalizando 1h

Intensidade do TA: 70% da FCM e após 5 semanas, 85%

Intensidade do TF: 55% de 1RM, após 3 semanas, 65% e 5 min na esteira para finalizar o circuito

Adaptado de Maiorana et al., 2002

RESULTADOS DO ESTUDO

Redução significativa da FC e DP no exercício submáximo

Aumentou o limiar ventilatório

Melhora na força e na captação de O₂

Diminuição das pregas cutâneas, %G, da RCQ e da glicemia em jejum

EXERCÍCIO E DIABETES: PRESCRIÇÃO

Aquecimento 5 minutos e alongamento antes e depois

- | | |
|------------------------|-----------------------|
| 1. Cadeira extensora | 2. Supino reto |
| 3. Mesa flexora | 4. bíceps c/ halteres |
| 5. Puxada por trás | 6. Flexão plantar |
| 7. Desenv. c/ halteres | 8. Remada sentada |
| 9. Extensão tríceps | 10. Flexão do tronco |

8 semanas, 3 x semana, circuito, alternância c/ exercícios aeróbios

Dunstan et al., 1998

TF E DIABETES: PRESCRIÇÃO

4 primeiras semanas foram realizadas 2 séries, depois 3 séries, a 50-55% de 1RM

10-15 reps por exercício (30s) + 30s de aeróbio

Sessão de 1h no total

Intensidade dos exercícios aeróbios: < 50 W a 60 rpm

Dunstan et al., 1998

TF E DIABETES: PRESCRIÇÃO

EXERCÍCIO aumenta a ação da insulina e diminui seus níveis plasmáticos

Pessoas de 50-63 anos

Aumento na força, massa magra e redução na gordura corporal

Miller et al., 1994

frontiers in PHYSIOLOGY

ORIGINAL RESEARCH ARTICLE

Polarized training has greater impact on key endurance variables than threshold, high intensity, or high volume training

Thomas Stögg^{1,2*} and Billy Sperlich²

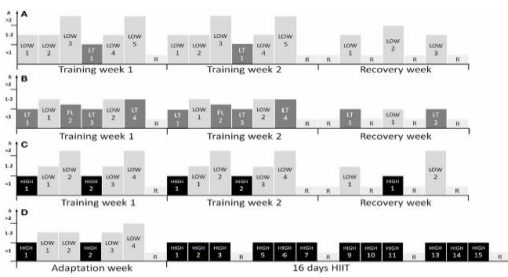


Table 2 | Changes in physiological variables from pre- to post-training.

	POL		HIIT	
	Pre	Post	Pre	Post
VO _{2peak} [L·min ⁻¹ ·kg ⁻¹]	60.6 ± 8.3	67.4 ± 7.7*** 11.7 ± 8.4%	63.7 ± 7.1	66.6 ± 5.8*
VO _{2peak} [L·min ⁻¹]	4.4 ± 1.0	4.9 ± 1.1*** 10.4 ± 7.9%	4.6 ± 0.5	4.7 ± 4.9 1.1 ± 7.6†
HR _{peak} [bpm]	187 ± 7	186 ± 7 -0.6 ± 1.9%	185 ± 9	182 ± 11 -1.3 ± 2.3%
LA _{peak} [mmol·L ⁻¹]	10.2 ± 1.7	10.7 ± 1.7 7.5 ± 20.4%	9.6 ± 1.7	10.2 ± 1.7 6.4 ± 8.3%

obesity reviews doi: 10.1111/obr.12536

Etiology and Pathophysiology

A systematic review and meta-analysis of interval training versus moderate-intensity continuous training on body adiposity

S. E. Keating,^{1,2} N. A. Johnson,^{1,3} G. I. Mielke^{2,4} and J. S. Coombes²

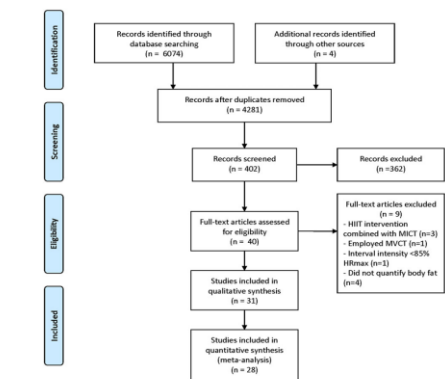


Figure 1 Preferred Reporting Items for Systematic Reviews and Meta-Analysis (2009) flow diagram of outcomes of review. HIIT, high-intensity interval training; MICT, moderate-intensity continuous training; MVCT, moderate-vigorous continuous training. [Colour figure can be viewed at wileyonlinelibrary.com]

